

Statistische Analyse von Tagesbrüchen über Abbaufeldern des Braunkohlen-Tiefbaus und ein Versuch ihrer numerischen Simulation mit dem Programm FLAC

Statistic Analysis of Sinkholes over Mining Fields of brown Coal of the Foundation Engineering and an Attempt of their Numerical Simulation with the Program FLAC

Jörg Meier¹

Zusammenfassung

Mitteldeutschland und insbesondere der Großraum Halle sind durch umfangreiche Braunkohlen-Lagerstätten gekennzeichnet. Mit der Industrialisierung im 19. Jahrhundert wurden die zahlreichen Vorkommen im Tiefbau intensiv gewonnen. Vor allem die Stollen- und Streckensysteme aber auch Schächte blieben jedoch nach der Stilllegung weitestgehend erhalten. Ihr heutiger Zustand stellt grundsätzlich ein unbekanntes Sicherheitsrisiko dar. Die landwirtschaftliche Nutzung und zunehmende Überbauung dieser bergbaulich überprägten Flächen stellt ein hohes Risikopotential dar und erfordert verstärkt umfangreiche geotechnisch-bergschadenkundliche Erkundungs-, Bewertungs- und Sanierungsmaßnahmen.

In diesem Beitrag wird eine statistische Analyse der Verbruchereignisse vorzulegen. Mit Hilfe des Programms „FLAC“ wird weiterhin der Versuch unternommen, Tagesbrüche numerisch zu simulieren.

Abstract

Central Germany and in particular the region Halle are characterized by extensive brown coal stores. With the industrialization in 19th century, the numerous occurrences in the foundation engineering were mined intensively. Above all the gallery and drift systems, in addition, pits however remained as far as possible after the closing. Their current condition represents an unknown safety risk. The agricultural usage and increasing overbuild of these mining over-shaped surfaces represent a high risk potential and require strengthening extensive geotechnical study of possible damage of elaboration, reorganization and restoration.

In this contribution a statistic analysis of the break events will be presented. By means of the program "FLAC" further attempt to simulate Sinkholes numerically will be taken.

1 Der bruchauslösende Braunkohlentiefbau

Seit dem 18. Jahrhundert wurde Braunkohle im Großraum Halle im tagesnahen Bereich abgebaut. Angeregt durch den immer höher werdenden Energiebedarf und das Auskohlen der extrem tagesnahen Vorkommen wurde zum Tiefbau übergegangen. Verwendung fand die Kohle z. B. in Salinen, Ziegeleien, Glasfabriken und in der Zuckerindustrie. Der historische Braunkohlentiefbau wurde im Bruchbau betrieben. Bei dieser Abbauweise wurden Schächte und an diese anschließende Strecken in die abbauwürdige Braunkohle vorgetrieben. Innerhalb der zu gewinnenden Kohle wurden dann Abbauorte mit quadratischer bis rechteckiger Grundfläche aufgefahren, deren typische Abmaße 3 x 4, 4 x 4, 3 x 5 oder 4 x 5 Feldlängen in der Grundfläche betragen. In den vertikalen Ausmaßen waren sie oft erheblich höher, als die Streckenhöhe. Die Abbaukammern wurden mit Holz gestützt, bis zu der geplanten Größe ausgekohlt und dann durch Berauben zum Einsturz gebracht. Nach dem Zubruchgehen dieses Abbauortes wurde die nächste Kammer ausgekohlt. Durch diese Vorgehensweise konnten nur ca. 50 % des Braunkohlenflözes gewonnen werden. Die Auswirkungen an der Geländeoberfläche der planmäßig geworfenen Brüche wurden akzeptiert. Die Kohle wurde als zu

geringwertig angesehen, um ein Versatzmaterial einzubringen. Vorrangig lagen die Abbaufelder unter landwirtschaftlichen Nutzflächen. Des Weiteren hätte ein Versatzmaterial nicht so gut verdichtet eingebracht werden können, um bei der geringen Überdeckung Auswirkungen auf die Tagesoberfläche zu vermeiden. (KLEIN 1915, OTT 1988)

Erst mit der Entwicklung der Baggertechnik am Ende des 19. Jahrhunderts setzte sich der Tagebaubetrieb durch, der einen fast vollständigen Lagerstättenabbau ermöglichte.

Der Querschnitt der Tiefbaustrecken hing von dem gewählten Ausbau ab. Gebräuchlich waren hierbei paralleltrapezförmiger Holz- und Eisen- und Mauerung (kreisrund, elliptisch oder rechteckig mit gewölbten Firsten). Bei Strecken in fester Kohle, die ohne Ausbau standen, wurden diese ebenfalls gewölbt. Die Wasserseige bildete eine in der Mitte oder am Stoß entlang laufende Vertiefung in der Sohle. (KLEIN 1915)

Für die paralleltrapezförmigen Strecken mit Holz- und Eisen- und Mauerung wurde in der Regel der „deutsche Türstock“ ausgeführt. Dieser kann durch seine spezielle Gestaltung der Kontaktstelle zwischen Stempel und Kappe neben vertikalen zusätzlich auch horizontale Belastungen aufnehmen (Fig. 1).

¹ Dipl.-Ing. Jörg Meier, TU Bergakademie Freiberg, Am Schirnbach 9, 09600 Wegefarth, jmeier@dr-gmeier.de

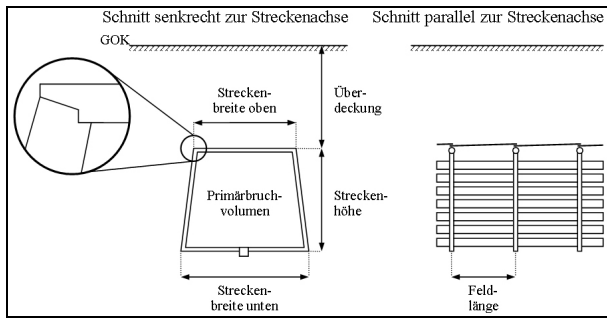


Fig. 1: Schematische Darstellung einer typischen Strecke mit Holzausbau (Paralleltrapez).

Fig. 1: Graphical representation of the typical drift with wood support (parallel trapezoid).

Für Fahr- und Bewettungsstrecken, die für eine längere Nutzung konzipiert wurden und bei denen die Geologie bzw. Geomechanik dies erforderte, wurden die Strecken mit einem Ausbau aus Ziegel-, seltener mit Natursteinmauerwerk ausgeführt (z. B. Velheimstollen in Tollwitz). Da Mauerwerk im Gegensatz zu Holz keiner Fäulnis unterliegt, sind diese Strecken auch heute noch relativ standsicher.

Es kann davon ausgegangen werden, dass vorrangig Strecken und vor allem Streckenkreuze mit Holzausbau und Strecken in fester Kohle zum Verbruch neigen, da das verwendete Holz mit der Zeit verrottet, wobei es seine Festigkeit und damit seine Stützwirkung verliert. ECKART (1972) beziffert mit 10 Jahren den Zeitraum, nach dem die Festigkeitseigenschaften eines Holzbaus soweit herabgesetzt sind, dass Verbrüche möglich werden. Vollständig ausgemauerte Strecken werden demgegenüber noch sehr lange Zeit stabil sein und nicht zum Verbruch neigen.

Die geometrischen Abmessungen der Strecken wurden nach den lokalen Erfordernissen und den Eigenschaften des anstehenden Gebirges gewählt. Einfluss hatte hierbei:

- Anzahl der Gleise (häufig: 2 und 1-gleisig)
- Fahrweg
- Wasserhaltung
- Bewetterung

KLEIN (1915) gibt für gebräuchliche Streckenprofile aus Holz (Paralleltrapez) die in Tab. 1 aufgeführten Parameter an.

Tab. 1: Geometrische Parameter von Streckenprofilen aus Holz

Tab. 1: Geometrical parameters of drift profiles of wood

Parameter		eingleisig [m]	zweingleisig [m]
Streckenbreite oben	b_o	1,5	2,3
Streckenbreite unten	b_u	1,9	2,7
Streckenhöhe	h	2,0	2,0
Feldlänge	l	1,0 bis 1,3	1,0 bis 1,3

2 Der Verbruchprozess

Als Verbruch wird das schrittweise Übertragen bzw. „Hocharbeiten“ eines Volumen- und damit gleichzeitig

Massendefizites im Untergrund in Richtung der Tagesoberfläche bezeichnet (Fig. 2). Eingeleitet werden solche Hochbrüche durch Nachbrüche des Deckgebirges über vorhandenen Hohlräumen, denen Durchbiegungs- und Scherbeanspruchungen der Hohlraumfirse vorausgehen. Der ursprüngliche untertägige Hohlraum wird dabei teilweise (Teilverbruch) und später ggf. vollständig (Vollverbruch) durch die der Schwerkraft folgenden, nachbrechenden Massen verfüllt. Dieser Vorgang wird als Verbruchprozess bezeichnet. Das Hochbrechen des Volumendefizites findet in einem mehr oder weniger senkrechten, zylindrischen Bruchschlot statt. Der Nachfallprozess kann zeitweise unterbrochen werden, was auf die Ausbildung gewölbeförmiger Gleichgewichtszustände oder Silowirkungen der nachbrechenden Gesteinsmassen zurückzuführen ist. Ein Tagesbruch stellt das vorläufige Schlussbild eines Hochbruches dar, der die Geländeoberkante erreicht hat. Dieser wird sich, entsprechend dem natürlichen Böschungswinkel abböschen und so eine trichterförmige Vertiefung an der Tagesoberfläche bilden. MEIER (1988) stellt fest, dass Vegetationsdecken das Auftreten von Brüchen verzögern, aber nicht verhindern können.

Das bei einem solchen Verbruchprozess im Untergrund vorhandene Volumen des ursprünglichen Hohlraumes wird als Primärbruchvolumen bezeichnet und ist abhängig von folgenden Faktoren:

- Größe und geometrische Form des ursprünglichen Hohlraums
- Lage des Durchbruches im ursprünglichen Hohlraum
- Fähigkeit der Verbruchmassen, den zur Verfügung stehenden Hohlraum auszufüllen (wichtigste Einflussfaktoren: Böschungswinkel, Stückigkeit, Wasserdargebot)

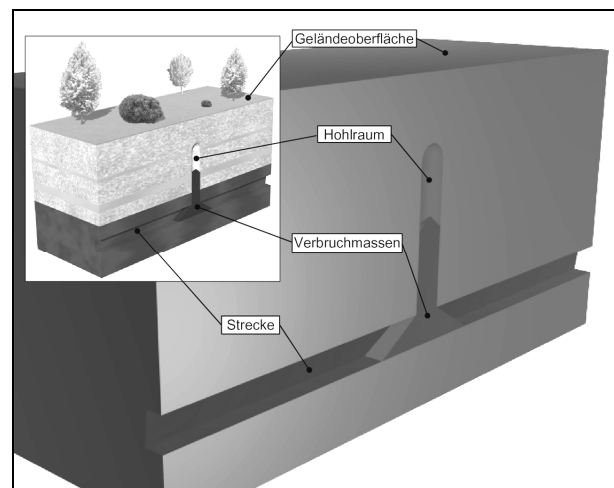


Fig. 2: Blockbild eines Hochbruches über einer Strecke.

Fig. 2: Picture of high break over a drift

Verbrüche können über bzw. in verschiedenen Hohlraumtypen auftreten. Fig. 3 gibt einen Überblick über die Einteilung. Mit dem Begriff „Erdfall“ wird ein über natürlichen Hohlräumen (z. B. Karst) gefallener Verbruch bezeichnet. Über oder in anthropogen herge-

stellten Hohlräumen gefallene Verbrüche werden in „Tagesbrüche“ und „Schachtverbrüche“ aufgliedert. Grund hierfür ist die starke mechanische Verschiedenheit: Schachtverbrüche sind durch ein plötzliches Abgehen der Schachtfüllung inklusive ggf. vorhandener Einbauten charakterisiert. Tagesbrüche zeichnen sich in der Regel durch keinen derart vorgezeichneten Bruchschlot aus. (MEIER 2002)

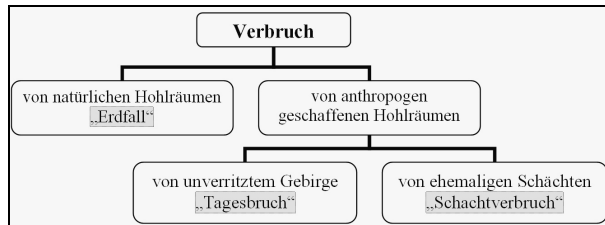


Fig. 3: Definition des „Verbruch“-Begriffs.
Fig. 3: Definition of the “Break“-term.

2 Die statistische Analyse

Verbruchereignisse sind von vielen Faktoren abhängig. Einfluss haben neben Niederschlags- und Klimaereignissen, Geologie des Deckgebirges und Grundwasserständen sowie -entwicklungen noch weitere Größen und ihr Zusammenspiel. Da diese oft nicht oder nicht genau genug messbar sind, oder eine Messung – auch aus Gründen der zu großen Anzahl der Werte – zu aufwändig wäre, können Analogien zu dem so genannten „Butterfly-Effekt“ (Schmetterlings- oder auch Lorenz-Effekt) gezogen werden: Das System verhält sich scheinbar chaotisch. Bereits geringste Schwankungen oder Veränderungen der Ausgangssituation oder Parameter können zu einem völlig anderen Ergebnis führen. Die Funktionsprinzipien sind zwar bekannt, aber dennoch bleibt das Endresultat offen.

Statistische Untersuchungen haben das Ziel, die zugrunde liegenden Daten soweit zu verdichten, dass möglichst einfache aber aussagekräftige Angaben über Strukturen und Zusammenhänge für diese Datenmenge abgeleitet werden können. Mit ihrer Hilfe können Einflüsse des Schmetterlings-Effektes vermindert bzw. gefiltert werden.

In der Literatur haben unter anderem OTT (1988), MEIER (1988) und FENK (1979, 1994) bereits Daten zu Verbruchereignissen analysiert und Gesetzmäßigkeiten abgeleitet.

Für die Analyse standen 1100 Datensätze zu Verbruchereignissen im Großraum Halle für einen 20jährigen Zeitraum von 1981 bis 2000 zur Verfügung. Diese Daten wurden aus einem Teil der Akten des Bergamtes Halle gewonnen. 788 Ereignisse fanden über ehemaligen Braunkohlentiefbau statt.

Diese 1100 Datensätze stellen mit höchster Wahrscheinlichkeit nicht alle Verbruchereignisse in diesem Zeitraum dar. Zum einen wurde ein gewisser Prozentsatz an Verbrüchen nicht oder erst lange Zeit nach dem Durchbruch durch die Tagesoberfläche entdeckt. Gründe hierfür sind die Lage an schwer zugänglichen Orten oder

Nichtererkennung durch fachfremde Personen. Da neben den oft unübersehbaren Tagesbrüchen z. B. auch Risse oder Einmuldungen zu den Bruchereignissen zählen, werden sicherlich Schäden, die ursächlich Verbruchvorgängen zuzuschreiben sind, anderen Schadensquellen zugeordnet und unerkannt beseitigt.

Als günstigste Vorgehensweise bei der statistischen Analyse wird folgender Ablauf angesehen:

1. *Auswertung und Interpretation ausgewählter Parameter.*
2. *Nachweis bzw. Widerlegung einer Korrelationen mehrerer Parameter*
3. *Zeitreihenanalysen von einzelnen Parametern*
4. *Zeitreihenanalyse mehrerer Parameter*

Die Ergebnisse der statistischen Analyse lassen sich wie folgt zusammenfassen:

- *Die meisten Tagesbrüche über historischen Braunkohlen-Gruben traten absolut gesehen auf landwirtschaftlich genutzter Fläche auf. Bezogen auf den Flächenanteil der jeweiligen Oberflächennutzung fielen jedoch die meisten Verbrüche in Verkehrsflächen. Tagesbrüche stellen demnach ein besonderes Problem für die öffentliche Sicherheit dar.*
- *Die häufigsten geometrischen Abmessungen der in der Regel rotationssymmetrischen Verbruchhohlformen an der Geländeoberkante waren ca. 2,15 m im Durchmesser und ca. 0,90 m in der Tiefe.*
- *Der Verbruchdurchmesser entsprachen etwa der Breite des verbruchverursachenden Hohlraums.*
- *Zwischen den geometrischen Abmessungen des Verbruches an der Geländeoberkante und der Tiefe des primären Hohlraums konnte keine Abhängigkeit nachgewiesen werden.*
- *Die bereits von MEIER (2001) beschriebene monatliche Verteilung der Verbruchereignisse mit den Maxima im Frühling und Herbst konnte bestätigt werden. Es wurde jedoch nachgewiesen, dass die Ausprägung dieser Verteilung zwischen den einzelnen Oberflächennutzungsarten unterschiedlich ist.*
- *Mit Hilfe der Analyse der Latenzzeiten der Verbruchereignisse konnten Anhaltswerte für die Anzahl der noch zu erwartenden Tagesbrüche und deren zeitliche Verteilung in dem Untersuchungsgebiet angegeben werden. Diese Abschätzung soll näher vorgestellt werden.*

Neben der „absoluten“ Darstellung der Verteilung der Zeitpunkte der Bruchereignisse, bei der den unterschiedlichen Abbaueiträumen der einzelnen Tagesbrüche keine Rechnung getragen wird, eliminiert die relative Darstellung der „Latenzzeiten“ der Ereignisse den Störfaktor dieser Zeitunterschiede. Die Latenzzeit wird als Summe der Standzeit des Hohlraumes nach der Auffahrung und der Verbruchzeit definiert. Nach FENK (1979) gibt die Verbruchzeit die Dauer zwischen dem Verbruch des bergmännischen Hohlraumes und der dadurch bedingten Entstehung eines Tagesbruches an.

In Fig. 4 wurde die Summenkurve der Zeitreihe über die Latenzzeit der Verbruchereignisse für drei Fälle aufgetragen: Zum Ersten seit dem Abbaubeginn, zum Zweiten seit dem Abbaubeginn und zum Dritten seit der Abbauhalbzzeit, welche den arithmetischen Mittelwert zwischen Abbaubeginn und Abbaubeginn darstellt. Diese Unterscheidung wurde gewählt, da für die meisten Ereignisse kein exakter Auffahrungstermin bzw. Termin der letzten Instandsetzung vorliegt.

Aus dem Diagramm der Fig. 4 ist erkennbar, dass die Summenkurven der drei Zeitreihen nur wenig differieren. Im Allgemeinen unterscheiden diese sich um ca. 15 % bzw. 15 Jahre, verlaufen jedoch im Anfangs- und Endbereich nahezu kongruent. Die folgenden Betrachtungen können deshalb vereinfachend für die dritte Zeitreihe (seit Abbauhalbzzeit) geführt werden.

In den ersten 30 Jahren nach dem Abbau entstehen nur 1 % aller bis heute gefallenen Verbrüche. Das erste Verbruchereignis innerhalb der zur Verfügung stehenden Daten tritt 24 Jahre nach dem Abbau ein. Nach ca. 130 Jahren sind bereits 90 % der vorliegenden Bruchereignisse gefallen. Es ist davon auszugehen, dass mit höchster Wahrscheinlichkeit die Bildung weiterer Tagesbrüche fortwährend stattfinden wird und somit das dargestellte Diagramm als Zwischenstand zu betrachten ist. Da im Untersuchungsgebiet kein Braunkohlentiefbau mehr stattfindet, werden vorwiegend „ältere“ Tagesbrüche zu dem Diagramm hinzukommen und damit die Kurve im rechten oberen Bereich verändern.

Um einen Trend der Latenzzeiten zu erhalten, wurde die Summenkurve der Latenzzeiten mittels verschiedener Verteilungskurven angenähert. Dabei wurden jedoch ausschließlich Verbruchereignisse mit einem Alter kleiner gleich 130 Jahre betrachtet, um der bereits dargestellten Zwischenstands-Charakteristik Rechnung zu tragen. Die beste Näherung wurde von der akkumulierten Lognormalverteilung (Gleichung (1)) erzielt, dicht gefolgt von der akkumulierten Weibullverteilung (Gleichung (2)).

$$(1) \quad f(x) = \int \frac{1}{x + \omega} \cdot \frac{e^{-\left(\frac{\ln \frac{x+\omega}{\xi} - \mu}{\sigma}\right)^2}}{\sqrt{2\pi\sigma^2}} \cdot \psi \, dx$$

$$(2) \quad f(x) = \left(1 - e^{-\left(\frac{x+\omega}{\xi\beta}\right)^\alpha} \right) \cdot \psi$$

Die bestimmten Parameter und die Wertung (Summe der Abstandsquadrate) der Näherungskurven können der Tab. 2 entnommen werden. Aus ihnen kann die Latenzzeit der Ereignisse bei dem Maximum der Näherungskurve errechnet werden, welche ebenfalls in Tab. 2 angegeben wurde. Diese ergibt bei beiden Funktionen ca. 95 Jahre. Dieser Wert kann als „mittlere Latenzzeit“ für Tagesbrüche angesehen werden. Bei den vorliegenden Daten entspricht dieser Wert auch gleichzeitig der Zeit, nach der ca. 50 % der Verbruchereignisse eingetreten waren. Dieser Wert weicht allerdings signifikant von der von FENK (1979) angegebenen „durchschnittlichen Standzeit“ von 70,6 Jahren ab.

Es fällt auf, dass beide Kurven nicht gegen die Anzahl der erfolgten Verbruchereignisse konvergieren, sondern sich an einen größeren Wert annähern. Die akkumulierte Lognormalverteilung strebt gegen 149,6 %, welche diese nach ca. 335 Jahren zu 99 % erreicht. Bereits nach ca. 190 Jahren steigt die Weibullverteilung auf 99 % ihrer Konvergenzgrenze von 114,5 %. Dieses Verhalten kann als grobes Vorhersagewerkzeug für die noch zu erwartenden Ereignisse verwendet werden, wobei die Weibullverteilung eine mögliche Untergrenze und die Lognormalverteilung eine mögliche Obergrenze definieren. Eine Eingrenzung auf eine der beiden Funktionen kann aus heutiger Sicht noch nicht getroffen werden, da sich die Wertung nicht signifikant unterscheidet und beide auch in anderen Einsatzgebieten für zeitliche Verteilungsabschätzungen verwendet werden. Exakt erreichen beide Verteilungen ihre Konvergenzgrenzen nur theoretisch nach unendlich langer Zeit, was die Überlegung bestätigt, dass auch nach mehreren hundert Jahren noch einzelne Tagesbrüche auftreten können.

Tab. 2: Zahlenwerte der Parameter und Kennwerte der Näherungskurven

Tab. 2: Numerical values of the parameters and characteristic values of the approximation curves

Kennwert	akkumuliert Lognormal		akkumuliert Weibull	
	Parameter	Wert	Parameter	Wert
Parameter	μ	3,6887	α	2,4643
	σ	0,4548	β	1,7343
	ω	0,0000	ω	24,0000
	ξ	0,3471	ξ	0,0195
	ψ	1,4963	ψ	1,1452
Wertung (Summe der Abstandsquadrate)	0,013		0,015	
Latenzzeit bei Kurvenmaximum	94 Jahre		96 Jahre	

3 Numerische Simulation mit FLAC

Das von der Itasca Consultants GmbH vertriebene Programm FLAC („Fast Lagrangian Analysis of Continua“) ist ein zweidimensionales Finite-Differenzen-Programm, das speziell für die Lösung ingenieurwissenschaftlicher Fragestellungen im Boden und Fels entwickelt wurde. Es arbeitet nach dem Kontinuumsmodell und eignet sich besonders für die Modellierung großer Deformationen.

Ein Grundzug des Kontinuumsmodells, auf dem das Programmsystem FLAC basiert, ist das Beibehalten der benachbarten und verbundenen Elemente während der gesamten Berechnung. Verbundene Elemente trennen sich nicht – es findet kein „Aufreißen“ des Materials statt. Treffen zwei nicht verbundene Elemente aufeinander, durchdringen sie sich, ohne Kräfte aufeinander auszuüben.

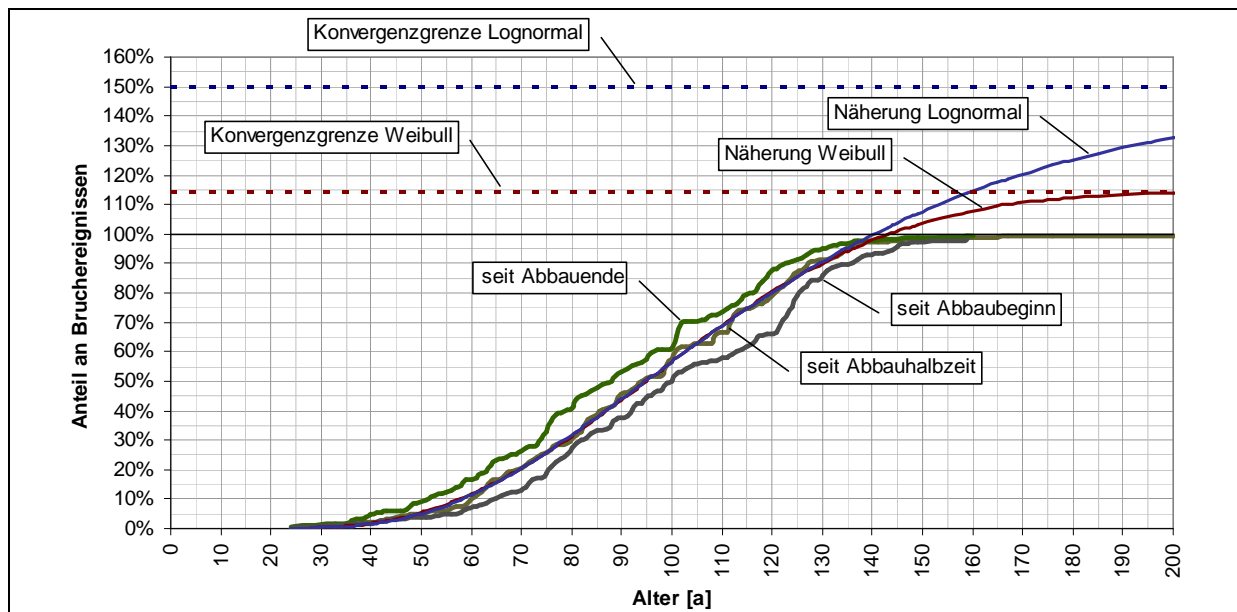


Fig. 4: Summenkurve der Zeitreihe über die Latenzzeit der Verbruchereignisse
 Fig. 4: Sum curve of the time series over the latency period of the break events

Während eines Hochbruches fallen jedoch mehr oder weniger große Materialbereiche aus der Firste oder den Stößen und bleiben im Bereich der Sohle des Hohlraumes liegen. Für die Simulation eines Hochbruches ist demnach das „Aufreißen“ des Gesteinsverbandes nötig. Eine Möglichkeit der Simulation eines solchen Verhaltens im Programmsystem FLAC sind die so genannten INTERFACE-Elemente. Sie können zwei Ränder oder Teile von Rändern von Netzelementen (einzelne Zellen oder Zellverbände) miteinander verbinden und ihr Durchdringen verhindern. Nachteilig wirkt sich bei einer solchen Lösung aus, dass zum einen das gesamte Netz in einzelne Zellen zerlegt werden muss, was ein relativ aufwendiges Skript zur Folge hat. Zum anderen genügt es nicht, jede Zelle mit einem INTERFACE-Element zu umgeben. Es muss jede der Zellen mit allen anderen Zellen mit je einem Element versehen werden. Mit Hilfe der Gleichung (3) ist für ein Netz mit m Zellen die Anzahl n der benötigten INTERFACE-Elemente eine Berechnung möglich.

$$(3) \quad n = \frac{m \cdot (m-1)}{2}$$

Ein alternativer Lösungsansatz für die Simulation von Materialausbrüchen aus der Firste des Hohlraumes ist die skriptgesteuerte Entfernung von Zellen der aktuellen Hohlraumfirste, die auf Grund eines im Skript zu definierenden Kriteriums „herabfallen“ würden. Gleichzeitig wird bei der Entfernung einer solchen Zelle eine Volumenbilanz geführt, um determinieren zu können, ob und wann der Hochbruch durch die Bruchmassen verfüllt ist.

Geometrisch wird ein Herausfallen möglich, wenn die unter der betrachteten Zelle befindliche Zelle das Materialgesetz „Null“ (entspricht Hohlraum) besitzt: Es werden demnach ausschließlich Nachbrüche aus der Hohlraumfirste betrachtet. Ein Herausfallen aus den Hohlraumwandungen wird nicht berücksichtigt, da dieser Effekt stark zurücktritt.

Geomechanisch wird die auf die betrachtete Zelle wirkende resultierende Kraft berechnet. Diese Resultierende F_R wird als „haltende Kraft“ definiert und besitzt ein positives Vorzeichen, falls sie entgegen der Schwerkraft in Richtung der positiven Ordinate zeigt. Sollte diese ein negatives Vorzeichen besitzen – also einen Wert kleiner Null annehmen – wird die betreffende Zelle aus dem Modell entfernt. Auf die Zelle wirkt, wie in Fig. 5 visualisiert, ihre Gewichtskraft F_G , die aus Zugfestigkeit resultierende Kraft F_Z und die Scherkräfte zu den in der gleichen Tiefe befindlichen Zellen F_{z1} und F_{z2} .

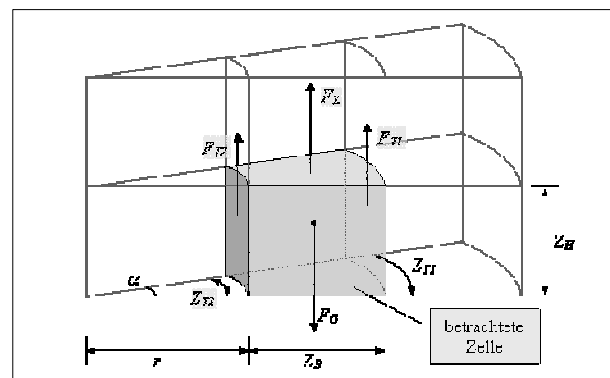


Fig. 5: Lage und Richtung der angreifenden Kräfte auf die betrachtete Zelle.
 Fig. 5: Location and direction of the operating forces on the regarded cell.

Für den Fall, dass die Zelle wie in Fig. 5 auf gleicher Tiefe zwischen zwei weiteren Zellen eingespannt ist und eine hangende Zelle besitzt, kann die Resultierende F_R nach Gleichung (4) berechnet werden.

$$(4) \quad F_R = F_Z + F_{z1} + F_{z2} - F_G$$

Die Kraft F_Z wird über die Zugfestigkeit σ_{Zug} durch Multiplikation mit der Fläche der Zellenoberseite A_O

berechnet (Gleichung (5)). Die Bestimmung von F_{z1} und F_{z2} kann nach dem Mohr-Coulomb'schen Bruchkriterium nach Gleichung (6) über die abgeminderte Kohäsion c' , den horizontalen Anteil der Spannung in der Zelle σ_{xx} , den wirksamen inneren Reibungswinkel ϕ' und die Zellenhöhe Z_H bestimmt werden. Die Gewichtskraft F_G berechnet sich aus der Dichte ρ des Zellenmaterials, der Fallbeschleunigung g mit dem Wert von $9,81 \text{ m/s}^2$ und dem Zellenvolumen V (Gleichung (7)).

$$(5) \quad F_z = \sigma_{zug} \cdot A_o \quad \text{mit} \quad A_o = \pi \cdot \frac{\alpha}{360^\circ} \cdot (2 \cdot r \cdot Z_B + Z_B^2)$$

$$(6) \quad F_\tau = (c' + \sigma_{xx} \cdot \tan \phi') \cdot Z_H \cdot Z_T$$

$$(7) \quad F_G = \rho \cdot g \cdot V \quad \text{mit} \quad V = A_o \cdot Z_H$$

Bei der Wahl der konturnah wirksamen Parameter sollte der Vorhersagezeitraum Beachtung finden. Für die Abschätzung einer kurz- bzw. mittelfristigen Stand-sicherheit können höhere Parameterwerte angesetzt werden, als für eine langfristige (100 Jahre und mehr) Prognose. Durch die fortschreitende Verwitterung verschlechtern sich die Gesteins- und Ausbaueigenschaften zeit- und umgebungsabhängig.

Die Hochbruchsimulation wurde als abgeschlossen angesehen, wenn alle den Hohlraum direkt überdeckenden Elemente verbrochen sind (vollständiger Tagesbruch), wenn die Volumenbilanz einen vollständigen Selbstversatz anzeigt bzw. wenn nach einer festzulegenden Anzahl Berechnungsschritte („Steps“) kein Nachbruch erfolgt ist.

Es ist davon auszugehen, dass die so erreichten Stadien nicht die endgültige Bruchform darstellen. Durch geringfügige Veränderungen der Parameter, wie z. B. den Wassergehalt und damit der Kohäsion oder Veränderung des Spannungsfeldes, beispielsweise das Aufbringen großer Lasten oder größere Erdbewegungen, kann es zu einem weiteren, jedoch zeitlich weiter verzögerten, Hochbruch kommen. Insbesondere bei dem „Steckenbleiben“ eines Bruches – wie durch die Festlegung einer maximalen Anzahl von Berechnungsschritten ohne Nachbruch angenommen wird – kann es auch ohne die Änderung von Parametern zu weiteren Verbruchserscheinungen kommen.

Aus den Untersuchungen mit FLAC können folgende Ergebnisse abgeleitet werden:

- Die Entwicklung von Tagesbrüchen wird grundsätzlich von allen im Modell Mohr-Coulomb integrierten Gesteinsparametern in unterschiedlicher Stärke beeinflusst. Das größte Gewicht hat der Parameter Kohäsion.
- In vorgegebenen Schwächezonen wie z. B. Streckenkreuzen finden Hochbrüche begünstigt statt.
- In Abbaubereichen mit vorwiegend schwachbindigen Lockergesteinen als Deckgebirge der Braunkohlen ist verstärkt mit Tagesbrüchen zu rechnen.
- Die Kontur des Verbruchhohlraums nähert sich im oberen Bereich einem rotations-symmetrischen Ellipsoid und im unteren Abschnitt einem Kreis-zylinder an.
- Die Hochbruchgeschwindigkeit ist von dem anstehenden Gestein abhängig und ändert sich so

in geschichtetem Gebirge schichtweise. Der wichtigste Einflussfaktor auf die Hochbruchgeschwindigkeit ist die Kohäsion, wobei bei steigendem Wert die Geschwindigkeit abnimmt.

- Innerhalb einer homogenen Gesteinsschicht können die Nachbrüche aufgrund von zeitabhängigen Spannungsumlagerungen schubartig stattfinden. Dieser Effekt verstärkt sich bei steigender Kohäsion.
- Unter hochkohäsiven Schichten kann der Hochbruchprozess temporär oder permanent zum Stillstand kommen.
- Ab einer Mindestüberdeckung findet ein schlagartiger Durchbruch bis zur Tagesoberfläche statt.

Literatur

ECKART, D. (1972): Arten und Ursachen von Schäden an stillgelegten Bergwerksanlagen. - Neue Bergbautechnik, 2. Jahrgang, Heft 8

FENK, J. (1994): Bergschadenprobleme in Ostdeutschland. In: Das Markscheidewesen 101, Nr. 1, S. 18 bis 23

FENK, J. (1979): Eine Theorie zur Entstehung von Tagesbrüchen über Hohlräumen im Lockergebirge. In: Dissertation, TU Bergakademie Freiberg

KLEIN, G. (1915): Handbuch für den Deutschen Braunkohlenbergbau. - Verlag von Wilhelm Knapp, Halle (Saale), 2. Auflage

MEIER, G. (2001): Altbergbau in Deutschland: Umfänge – Probleme – Bearbeitung. In: Tagungsband 1. Altbergbaukolloquium, Freiberg, S. 5-17

MEIER, G. (1988): Geotechnische Aufgaben bei Bergsicherungsarbeiten zur Erkundung und Sanierung von Altbergbau im Fels an typischen Beispielen des Thüringer Raumes und des Erzgebirges. In: Dissertation TU Bergakademie Freiberg

MEIER, G. (2002): Zum Erarbeitungsstand der Empfehlung „Geotechnisch-markscheiderische Untersuchung und Bewertung von Altbergbau“. - Tagungsband des 2. Altbergbaukolloquiums, Clausthal, S. 11 22

OTT, M.; GRUSCHWITZ, G.; FANTASNY, D. (1988): Spätauswirkungen ehemaliger Braunkohlentiefbaue im Bezirk Halle. In Zeitschr. f. angew. Geologie, Heft 34, S. 53 - 57